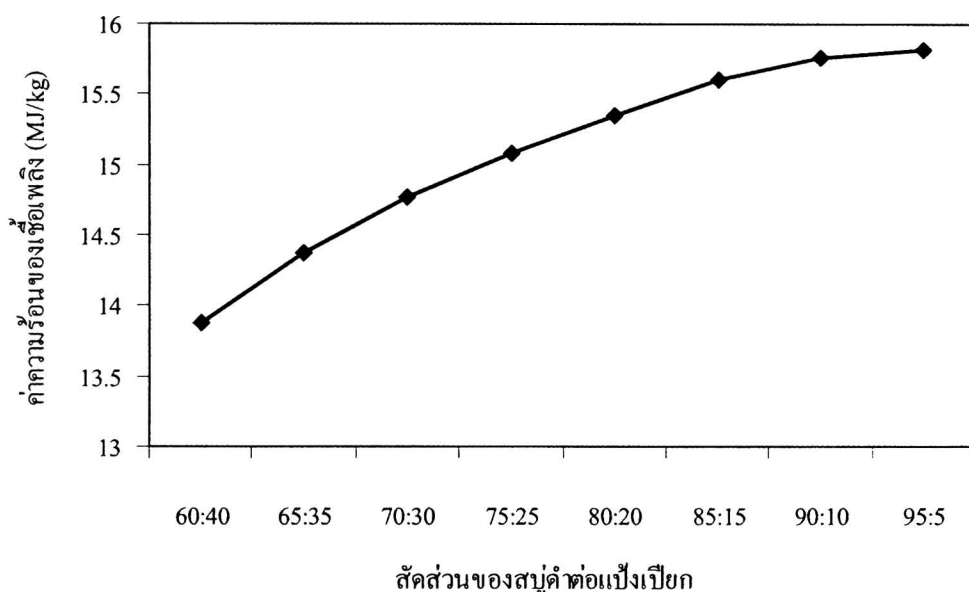


## บทที่ 4 ผลการทดลอง

### 4.1 ผลการทดลองการอัดแท่งเชื้อเพลิงชีวมวล

ผลการทดลองสมบัติทางกายภาพของแท่งเชื้อเพลิงที่ผลิตด้วยเครื่องอัดขนาด 10 แรงม้าสามารถสรุปผล และนำไปใช้ยืนกราฟเพื่อแสดงความสัมพันธ์ต่างๆ ในแต่ละการทดลอง ได้ดังรูปที่ 4.1- 4.15

#### 4.1.1 ผลการทดลองที่ใช้แป้งเปียกเป็นตัวประสาน (อิทธิพลของสัดส่วนตัวประสาน)



รูปที่ 4.1 ความสัมพันธ์ระหว่างค่าความร้อนของเชื้อเพลิงกับสัดส่วนการผสมสบู่คั่วต่อตัวประสานแป้งเปียก

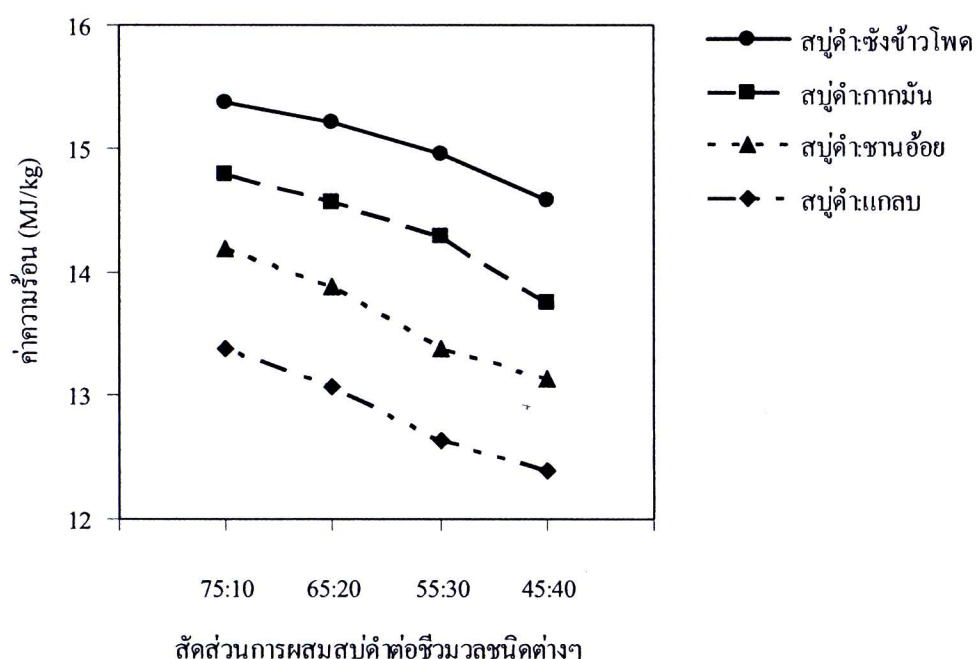
จากรูปที่ 4.1 เป็นผลการทดลองการผสมระหว่างสบู่คั่วต่อแป้งเปียกที่สัดส่วนต่างๆ พนว่าค่าความร้อนของเชื้อเพลิงมีค่าเพิ่มขึ้นตามการลดลงของสัดส่วนการผสมแป้งเปียก เพราะการผสมแป้งเปียกที่มากขึ้นจะเป็นการลดสัดส่วนของตัวเชื้อเพลิงชีวมวลที่มีในแท่งเชื้อเพลิง นอกจากนี้เมื่อทดลองอัดแท่งเชื้อเพลิงพบว่า ที่สัดส่วนสบู่คั่วต่อแป้งเปียกที่ 80 : 20 และ 85 : 15 แท่งเชื้อเพลิงจะประสานเป็นเนื้อเดียวกันได้ดีที่สุดดังรูปที่ 4.2 แต่สำหรับสัดส่วนที่ใช้แป้งเปียกต่ำกว่าร้อยละ 15 ปรากฏว่าเชื้อเพลิงไม่สามารถอัดติดเป็นก้อนได้ ดังนั้นในตอนต่อจากนี้จึงเลือกทำการศึกษาอิทธิพลของวัตถุคุณที่สัดส่วนตัวประสานแป้งเปียกที่ร้อยละ 15 และ 20 เท่านั้น



รูปที่ 4.2 ลักษณะแห่งเรือเพลิงที่ผลิตได้

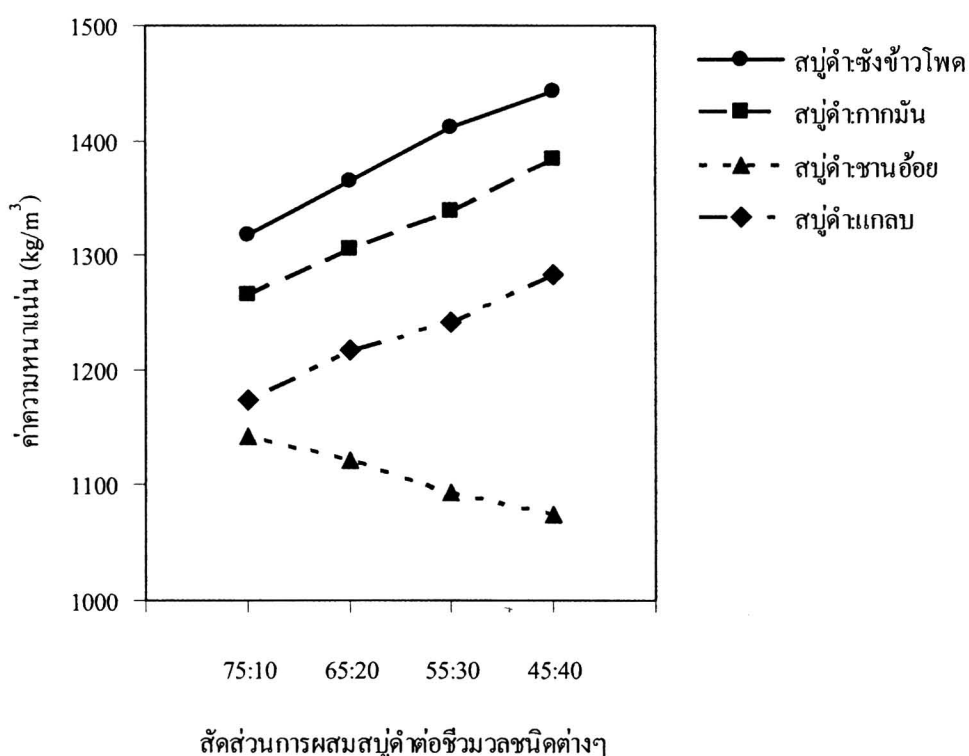
#### 4.1.2 ผลการทดลองที่ใช้แป้งเปียกเป็นตัวประสาน (อิทธิพลของสัดส่วนวัตถุคิม)

##### 4.1.2.1 อิทธิพลของสัดส่วนวัตถุคิมเมื่อใช้แป้งเปียกเป็นตัวประสานที่ร้อยละ 15



รูปที่ 4.3 ความสัมพันธ์ระหว่างค่าความร้อนของแห่งเรือเพลิงกับสัดส่วนการผสมสบู่คำต่อช่วงเวลาต่างๆ ซึ่งใช้แป้งเปียกเป็นตัวประสานที่สัดส่วนร้อยละ 15

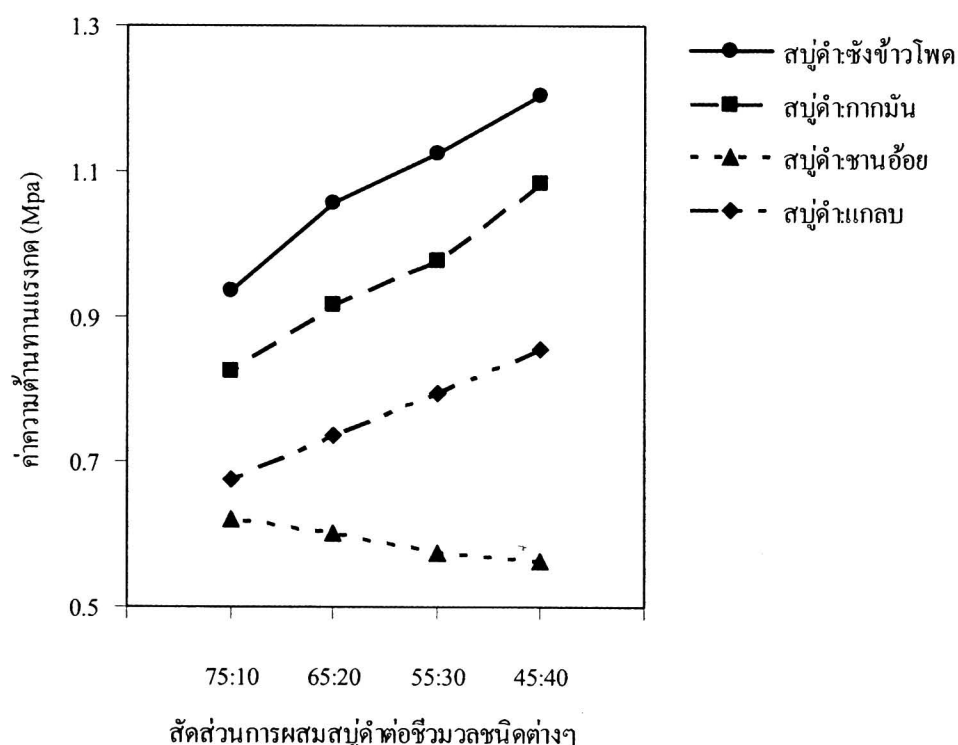
จากรูปที่ 4.3 นั้นเป็นผลการทดลองในการทดสอบวัตถุคิดซึ่งเป็นสนู'คำต่อวัสดุชีวมวลอื่นๆ อันได้แก่ ชั้งข้าวโพด กาムน้ำสำปะหลัง ชานอ้อย และเกลบที่สัดส่วน 75 : 10, 65 : 20, 55 : 30 และ 45 : 40 ใช้ สัดส่วนการทดสอบชีวมวลต่อไปนี้เป็นร้อยละ 85 : 15 ซึ่งจาก Proximate Analysis ในตารางที่ 3.1 ค่าความ ร้อนของสนู'คำมีค่าสูงที่สุดของกลุ่มน้ำเป็นชั้งข้าวโพด กาムน้ำสำปะหลัง ชานอ้อย และเกลบ ตามลำดับ พนว่าเมื่อทำการลดสัดส่วนของสนู'คำจะทำให้ค่าความร้อนของแท่งเชื้อเพลิงลดลงเนื่องจากสนู'คำมี องค์ประกอบการนอน และค่าความร้อนสูงกว่าวัสดุเชื้อเพลิงชีวมวลชนิดอื่นที่นำมาทดสอบดังนั้นเมื่อ สัดส่วนของสนู'คำลดลงค่าความร้อนจึงลดลงด้วย โดยที่ค่าความร้อนของแท่งเชื้อเพลิงหลังจากอน จนกระทั่งความชื้นเหลือ 10 % db มีค่าสูงสุดอยู่ที่ 15.366 MJ/kg ซึ่งได้จากการทดสอบระหว่าง สนู'คำและชั้งข้าวโพดที่ 75 : 10 นอกจากนี้จะสังเกตได้ว่าถ้านำวัสดุชีวมวลที่มีค่าความร้อนสูงมาทดสอบ ก็จะทำให้แท่งเชื้อเพลิงที่ได้มามีค่าความร้อนสูงตามไปด้วย เช่น ในการทดลองนี้ค่าความร้อนของ ชั้งข้าวโพดสูงกว่ากา姆น้ำสำปะหลัง ดังนั้นแท่งเชื้อเพลิงที่ได้จากการทดสอบระหว่างสนู'คำกับ ชั้งข้าวโพดจะมีค่าความร้อนสูงกว่าแท่งเชื้อเพลิงที่ได้จากการทดสอบระหว่างสนู'คำกับกา姆น้ำสำปะหลัง



รูปที่ 4.4 ความสัมพันธ์ระหว่างค่าความหนาแน่นของแท่งเชื้อเพลิงกับสัดส่วนการทดสอบสนู'คำ ต่อวัสดุชีวมวลต่างๆ ซึ่งใช้เป็นร้อยละ 85 ตัวประสานที่สัดส่วนร้อยละ 15

จากรูปที่ 4.4 เป็นผลการทดลองในการทดสอบวัตถุคิดซึ่งเป็นสนู'คำต่อวัสดุชีวมวลอื่นๆ อันได้แก่ ชั้งข้าวโพด กา姆น้ำสำปะหลัง ชานอ้อย และเกลบที่สัดส่วน 75 : 10, 65 : 20, 55 : 30 และ 45 : 40

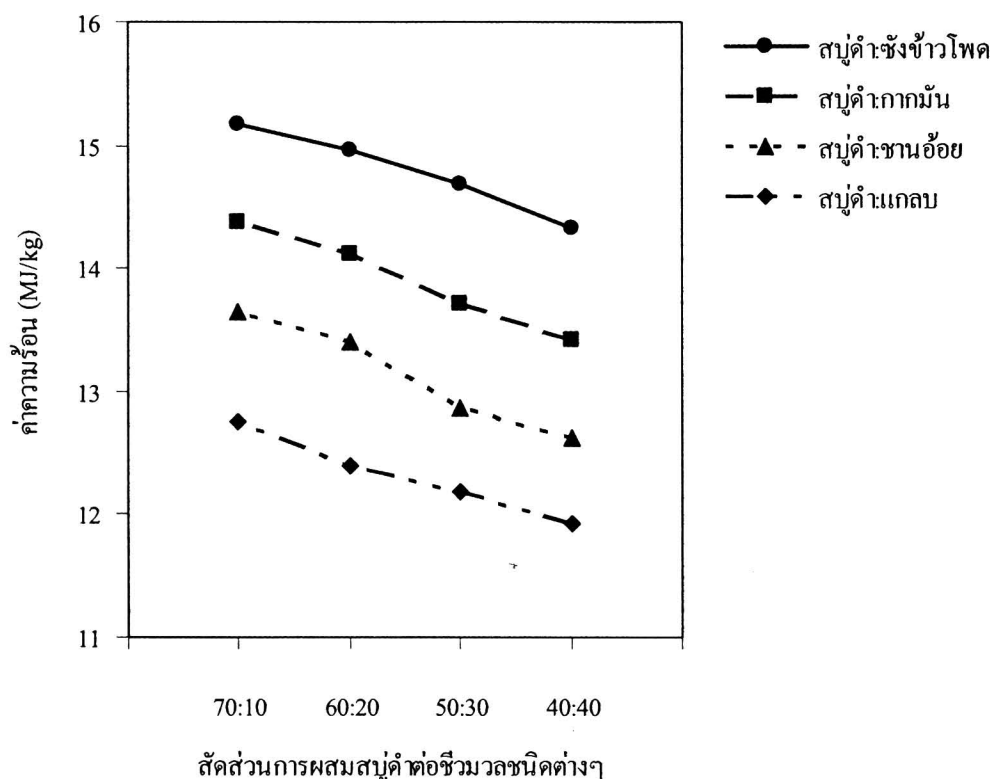
ใช้สัดส่วนการผสมเป็นเปรียกต่อวัสดุดินเป็น 15 : 85 โดยที่ค่าความหนาแน่นของซังข้าวโพดจะมีค่าสูงที่สุดรองลงมาเป็นกา姆ันสำปะหลัง แกลน ชานอ้อย และสนูร์คำ ตามลำดับ จะพบว่าค่าความหนาแน่นของแท่งเชือเพลิงจะปรับตัวตามสัดส่วนการผสมชีวนวลด้วยที่มีค่าความหนาแน่นสูง เช่น แท่งเชือเพลิงที่ผสมระหว่างสนูร์คำและซังข้าวโพดที่สัดส่วน 45 : 40 จะมีค่าความหนาแน่นสูงกว่าแท่งเชือเพลิงที่ผสมระหว่างสนูร์คำ และซังข้าวโพดที่สัดส่วน 75 : 10 เนื่องมาจากความหนาแน่นของซังข้าวโพดมีค่าสูงกว่าสนูร์คำ ดังนั้นเมื่อสัดส่วนในการผสมซังข้าวโพดลดลงค่าความหนาแน่นของแท่งเชือเพลิงจึงลดลงตามไปด้วย โดยที่ค่าความหนาแน่นมีค่าอยู่ระหว่าง  $1176-1584 \text{ kg/m}^3$  นอกจากนี้ยังพบอีกว่าชนิดของชีวนวลด้วยที่ใช้เพื่อผลิตแท่งเชือเพลิงจะมีผลต่อกำลังของแท่งเชือเพลิง เช่น ซังข้าวโพดมีค่าความหนาแน่นสูงกว่ากา姆ันสำปะหลังจึงทำให้ค่าความหนาแน่นของแท่งเชือเพลิงที่ผลิตจากซังข้าวโพดผสมกับสนูร์คำมีค่าสูงกว่าแท่งเชือเพลิงที่ผลิตจากกา姆ันสำปะหลังผสมกับสนูร์คำเมื่อเปรียบเทียบสัดส่วนเดียวกัน ในกรณีของชานอ้อยผสมกับสนูร์คำจะเห็นว่าลักษณะกราฟจะสวนทางกับกรณีของชีวนวลดินอื่นๆ เนื่องมาจากค่าความหนาแน่นของสนูร์คำมีค่าสูงกว่าชานอ้อย ดังนั้นเมื่อสัดส่วนการผสมสนูร์คำเพิ่มขึ้นจึงทำให้ค่าความหนาแน่นของแท่งเชือเพลิงสูงขึ้น



รูปที่ 4.5 ความสัมพันธ์ระหว่างค่าความด้านทานแรงกดของแท่งเชือเพลิงกับสัดส่วนการผสมสนูร์คำต่อวัสดุชีวนวลดินต่างๆ ซึ่งใช้เป็นเปรียกเป็นตัวประสานที่สัดส่วนร้อยละ 15

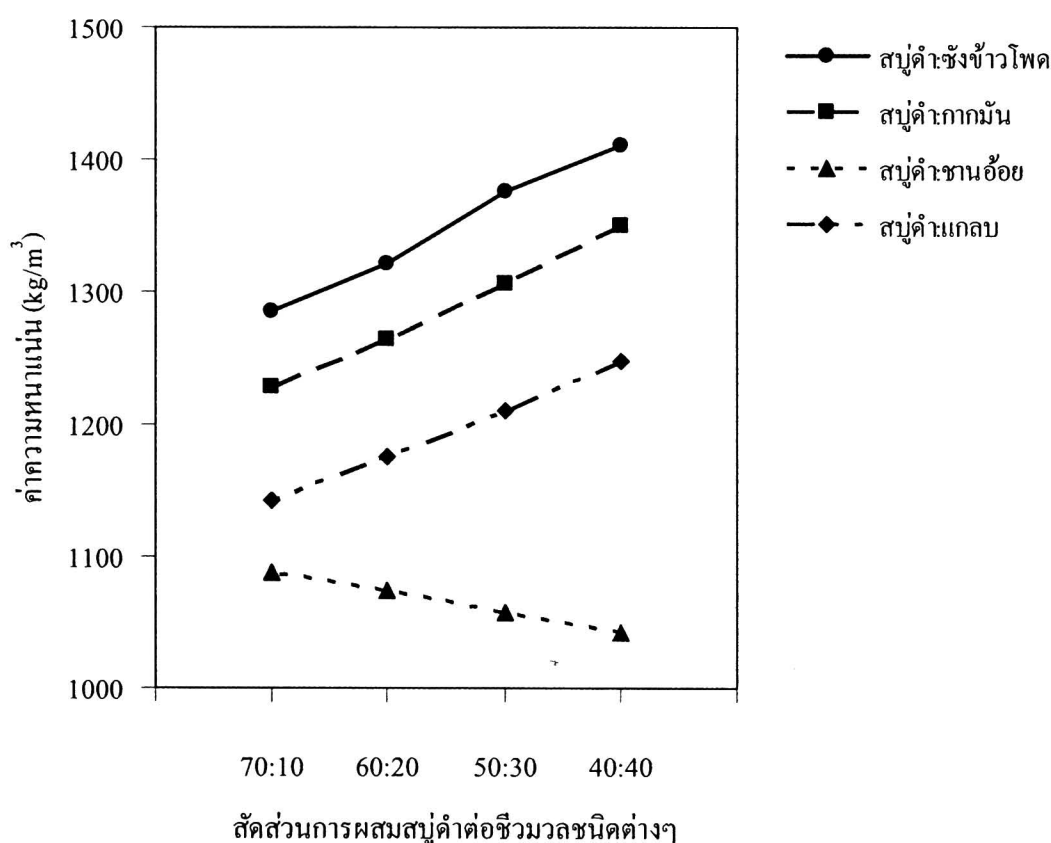
สำหรับค่าความด้านทานแรงกดจะเป็นไปในลักษณะเดียวกันกับค่าความหนาแน่น คือ มีค่าเพิ่มขึ้นตามสัดส่วนของชีวมวลที่มีความหนาแน่นสูง จากรูปที่ 4.4 และ 4.5 จะเห็นว่าแท่งเชือเพลิงที่มีความหนาแน่นสูงก็จะมีค่าความด้านทานแรงกดสูงตามไปด้วย และแท่งเชือเพลิงที่ผลิตโดยชีวมวลที่มีค่าความหนาแน่นสูงจะมีค่าความด้านทานแรงกดสูงด้วย เช่น ในการผีของแท่งเชือเพลิงที่ผลิตจากสนุ่ด้า ผสมกับชั้งข้าวโพดจะมีค่าความด้านทานแรงกดสูงกว่าแท่งเชือเพลิงที่ผลิตจากสนุ่ด้าผสมกับแกลบ เมื่อเปรียบเทียบที่สัดส่วนการผสมเดียวกัน ลักษณะของผลของค่าความด้านทานแรงกดที่เป็นเช่นนี้ เป็นเพราะการผสมชีวมวลที่มีความหนาแน่นสูงจะทำให้แท่งเชือเพลิงมีเนื้อแน่น และมีรูพรุน เนื่องจากการระเหยไปของน้ำในตัวประสานแป้งเปียกหลังจากการอบหรือตากให้แห้งอยู่น้อย เมื่อนำไปทดสอบกดด้วยเครื่อง UTM จึงสามารถทนแรงกดได้สูง ค่าความด้านทานแรงกดที่ทดสอบได้มีค่าอยู่ระหว่าง 0.676-1.205 MPa โดยที่ค่าความด้านทานแรงกดสูงสุดได้จากแท่งเชือเพลิงที่ผลิตจากสนุ่ด้าผสมกับชั้งข้าวโพดต่อตัวประสานแป้งเปียกเป็น 45 : 40 : 15

#### 4.1.2.2 อิทธิพลของสัดส่วนวัตถุดินเมื่อใช้แป้งเปียกเป็นตัวประสานที่ร้อยละ 20

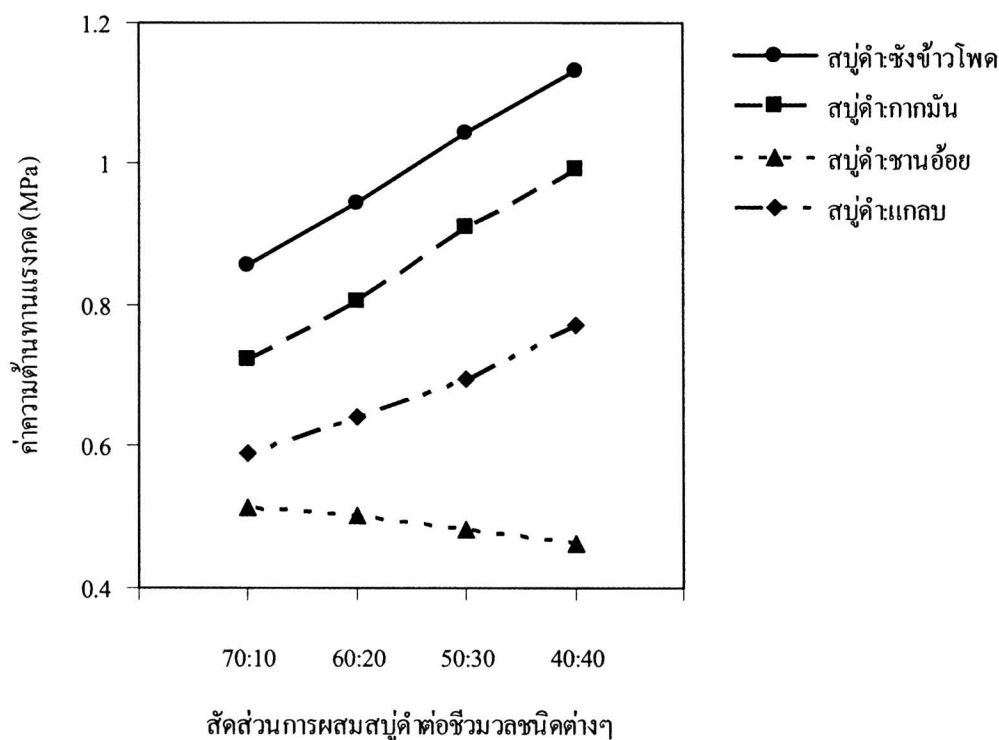


รูปที่ 4.6 ความสัมพันธ์ระหว่างค่าความร้อนของแท่งเชือเพลิงกับสัดส่วนการผสมสนุ่ด้าต่อวัตถุชีวมวลต่างๆ ซึ่งใช้แป้งเปียกเป็นตัวประสานที่สัดส่วนร้อยละ 20

จากรูปที่ 4.6 เป็นผลการทดลองในการผสมวัตถุคิดซึ่งเป็นสบู่คำต่อวัสดุชีวมวลอื่นๆ อันได้แก่ ชั้งข้าวโพด กากมันสำปะหลัง ชานอ้อย และเกลบที่สัดส่วน 70 : 10, 60 : 20, 50 : 30 และ 40 : 40 ใช้ สัดส่วนการผสมชีวมวลต่อแป้งเปียกเป็น 80 : 20 พนวิผลการทดลองที่ได้จะเป็นไปในแนวทางเดียวกันกับกรณีสัดส่วนการผสมชีวมวลต่อแป้งเปียกที่ 85 : 15 คือ เมื่อทำการลดสัดส่วนของสบู่คำลง จะทำให้ค่าความร้อนของแท่งเชื้อเพลิงลดลง และการนำวัสดุชีวมวลที่มีค่าความร้อนสูงมาผสมก็จะทำ ให้แท่งเชื้อเพลิงที่ได้มามีค่าความร้อนสูงตามไปด้วย โดยที่ค่าความร้อนของแท่งเชื้อเพลิงมีค่าสูงสุด อยู่ที่ 15.173 MJ/kg ซึ่งได้จากสัดส่วนการผสมระหว่างตัวสบู่คำและชั้งข้าวโพดเป็น 70 : 10 และเมื่อ เปรียบเทียบระหว่างรูปที่ 4.3 และ 4.6 จะพบว่าแท่งเชื้อเพลิงที่ใช้ตัวประสานแป้งเปียกในสัดส่วน ร้อยละ 20 จะมีค่าความร้อนน้อยกว่าแท่งเชื้อเพลิงที่ใช้ตัวประสานแป้งเปียกในสัดส่วนร้อยละ 15 เนื่องมาจาก การผสมตัวประสานในสัดส่วนที่มากขึ้นทำให้ปริมาณวัสดุเชื้อเพลิงชีวมวลใน แท่งเชื้อเพลิงลดลง ดังนั้นมี่อนนำไปทดสอบค่าความร้อนจึงมีค่าลดลง



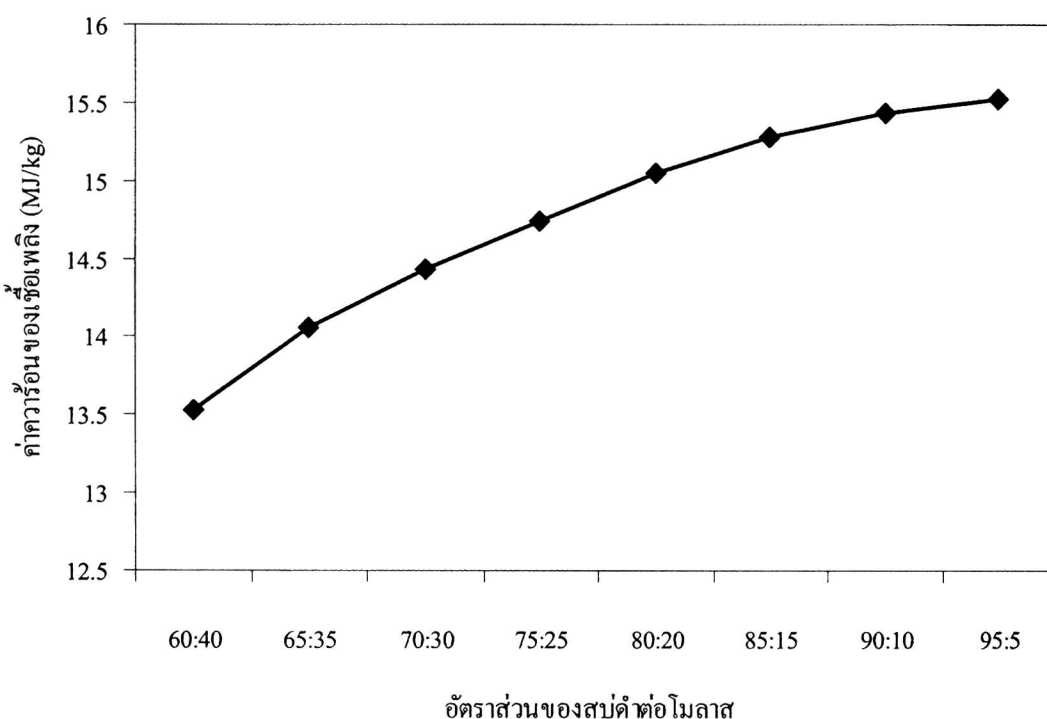
รูปที่ 4.7 ความสัมพันธ์ระหว่างค่าความหนาแน่นของแท่งเชื้อเพลิงกับสัดส่วนการผสมสบู่คำ ต่อวัสดุชีวมวลต่างๆ ซึ่งใช้แป้งเปียกเป็นตัวประสานที่สัดส่วนร้อยละ 20



รูปที่ 4.8 ความสัมพันธ์ระหว่างค่าความต้านทานแรงดึงของแท่งเชือเพลิงกับสัดส่วนการผสมสูตร 1 ต่อวัสดุชีวมวลต่างๆ ซึ่งใช้แป้งเปียกเป็นตัวประสานที่สัดส่วนร้อยละ 20

สำหรับค่าความหนาแน่น และค่าความต้านทานแรงดึงของแท่งเชือเพลิงที่ใช้ตัวประสานแป้งเปียก ร้อยละ 20 จะพบว่าผลการทดลองเป็นไปในลักษณะเดียวกันกับในกรณีที่ใช้แป้งเปียกเป็นตัวประสาน ที่สัดส่วนร้อยละ 15 คือ ค่าความหนาแน่น และค่าความต้านทานแรงดึงของแท่งเชือเพลิงจะแปรผัน ตามสัดส่วนการผสมชีวมวลที่มีค่าความหนาแน่นสูงดังแสดงในรูปที่ 4.7 และ 4.8 โดยที่ค่าความ- หนาแน่นของแท่งเชือเพลิงที่ผลิตได้มีค่าอยู่ระหว่าง  $1043-1411 \text{ kg/m}^3$  ซึ่งต่ำกว่าค่าความหนาแน่นของ แท่งเชือเพลิงที่ใช้แป้งเปียกเป็นตัวประสานที่สัดส่วนร้อยละ 15 เนื่องมาจากการเพิ่มสัดส่วนตัว ประสานการแป้งเปียกต่อน้ำหนักถูกดึงจะทำให้ความหนาแน่นของแท่งเชือเพลิงที่ผลิตได้ลดลง เพราะส่วนประกอบหลักของตัวประสานแป้งเปียกเป็นน้ำและเมื่อน้ำแท่งเชือเพลิงที่อัดได้ไปทำการ อบหรือตากแห้งจะทำให้น้ำที่มีอยู่ในแท่งเชือเพลิงระเหยออกไปจนเกิดรูพรุนขึ้นในแท่งเชือเพลิงโดย ปริมาณรูพรุนจะเพิ่มขึ้นตามสัดส่วนการผสมตัวประสาน ทำให้ความหนาแน่นของแท่งเชือเพลิงลดลงตามการเพิ่มสัดส่วนตัวประสาน จากเหตุผลข้างต้นจะทำให้ค่าความต้านทานแรงดึงของแท่งเชือเพลิง ลดลงตามการเพิ่มขึ้นของสัดส่วนแป้งเปียกด้วยเช่นกัน โดยที่ค่าความต้านทานแรงดึงของแท่ง- เชือเพลิงที่ผลิตได้มีค่าอยู่ระหว่าง  $0.46-1.13 \text{ MPa}$  ซึ่งต่ำกว่าในกรณีของแท่งเชือเพลิงที่ใช้แป้งเปียก เป็นตัวประสานที่สัดส่วนร้อยละ 15

#### 4.1.2 ผลการทดลองที่ใช้กากน้ำตาลเป็นตัวประสาน (อิทธิพลของสัดส่วนตัวประสาน)

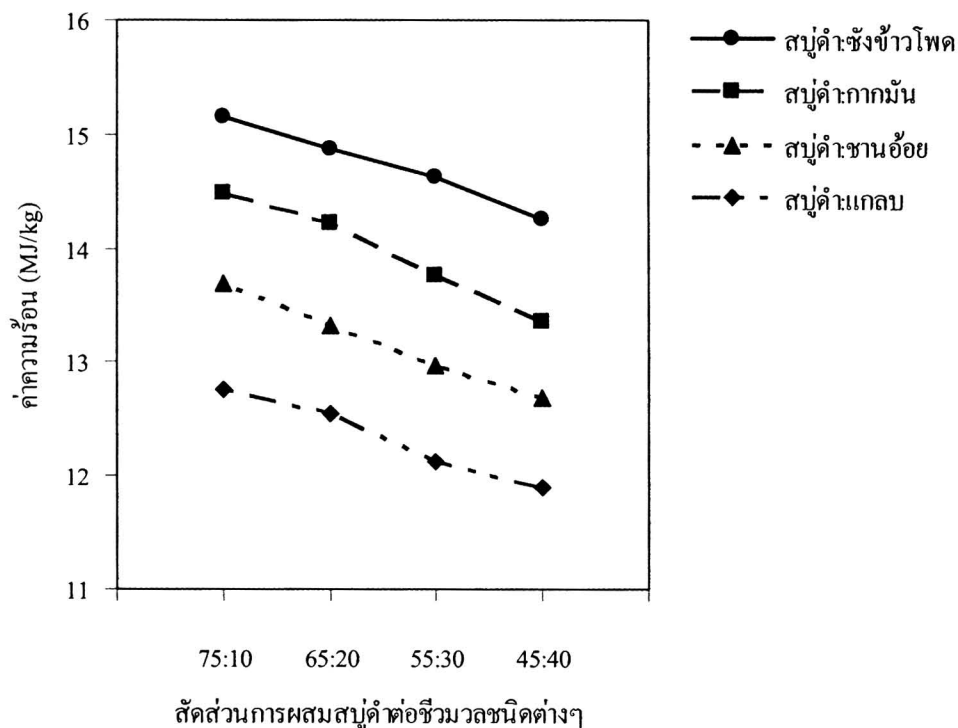


รูปที่ 4.9 ความสัมพันธ์ระหว่างค่าความร้อนของเชื้อเพลิงกับสัดส่วนการผสมน้ำตาล ต่อตัวประสานกากน้ำตาล

จากรูปที่ 4.9 เป็นผลการทดลองการผสมระหว่างน้ำตาลที่สัดส่วนต่างๆ พบว่าลักษณะของผลที่ได้จะคล้ายกันในกรณีที่ใช้แป้งเปียกเป็นตัวประสาน คือ ค่าความร้อนของแท่งเชื้อเพลิงมีค่าเพิ่มขึ้นตามการลดลงของสัดส่วนการผสมกากน้ำตาล เนื่องจากการผสมกากน้ำตาลมากขึ้นจะเป็นการลดสัดส่วนของวัสดุเชื้อเพลิงชีวนะที่มีในแท่งเชื้อเพลิง นอกจากนี้เมื่อสังเกตุจะพบว่าค่าความร้อนของเชื้อเพลิงจะต่ำกว่าในกรณีที่ใช้แป้งเปียกเป็นตัวประสานที่อัตราส่วนผสมเดียวกัน เพราะตัวประสานกากน้ำตาลมีความหนืดลento มาก ไม่ได้ยากกว่าตัวประสานแป้งเปียก และจากการทดลองอัดแท่งเชื้อเพลิงพบว่าสัดส่วนน้ำตาลต่อ กากน้ำตาลที่ 80:20 และ 85:15 แท่งเชื้อเพลิงจะประสานเป็นเนื้อเดียวกัน ได้ดีที่สุด สำหรับที่สัดส่วนสัดส่วนอื่นๆ ปรากฏว่าเชื้อเพลิงไม่สามารถอัดติดเป็นก้อนได้ ดังนั้นในตอนต่อจากนี้จึงเลือกทำการศึกษาอิทธิพลของวัตถุดินที่สัดส่วนตัวประสาน กากน้ำตาลที่ร้อยละ 15 และ 20 เท่านั้น เช่นเดียวกับกับกรณีของตัวประสานแป้งเปียก

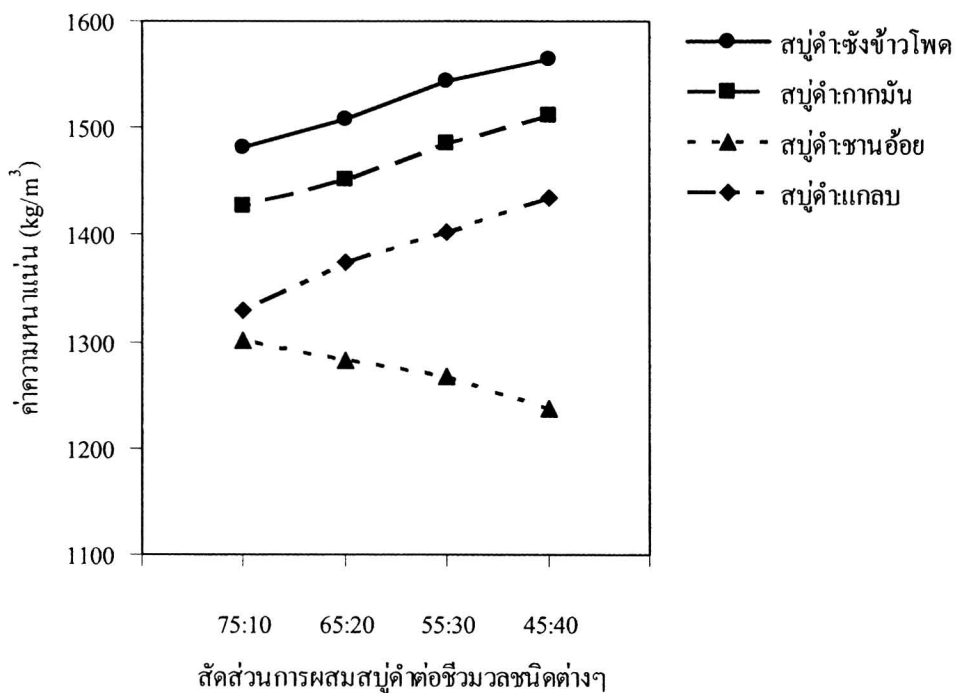
#### 4.1.4 ผลการทดลองที่ใช้กากน้ำตาลเป็นตัวประสาน (อิทธิพลของสัดส่วนวัตถุดิน)

##### 4.1.4.1 อิทธิพลของสัดส่วนวัตถุดินเมื่อใช้กากน้ำตาลเป็นตัวประสานที่ร้อยละ 15

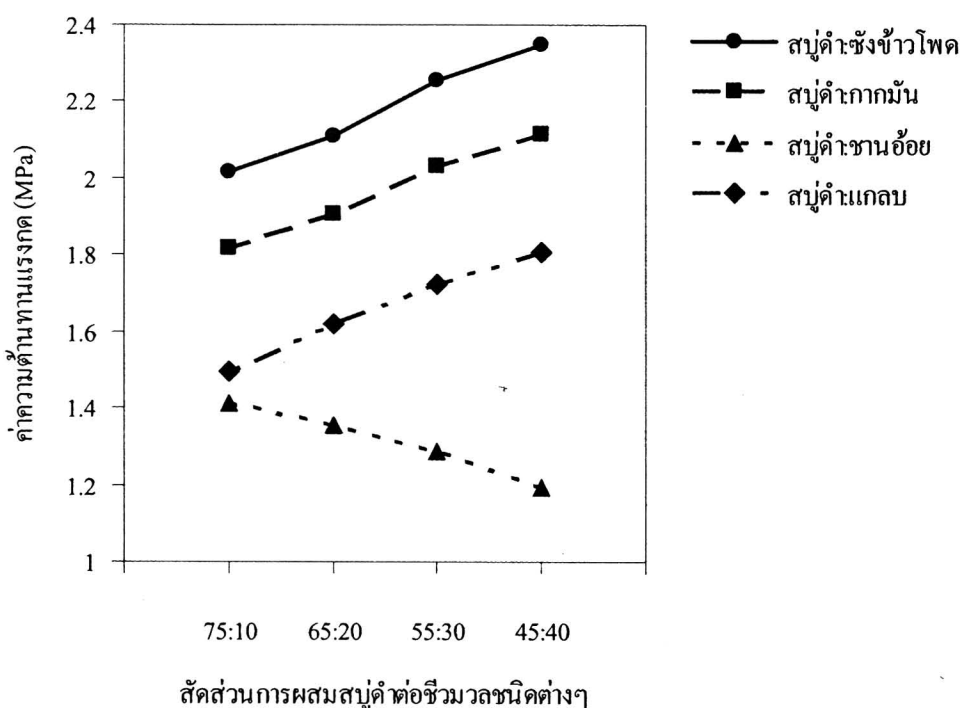


รูปที่ 4.10 ความสัมพันธ์ระหว่างค่าความร้อนของแท่งเชื้อเพลิงกับสัดส่วนการผสมสบู่คำต่อวัสดุชีวมวลต่างๆ ซึ่งใช้กากน้ำตาลเป็นตัวประสานที่สัดส่วนร้อยละ 15

จากรูปที่ 4.10 เป็นผลการทดลองในการผสมวัตถุดินซึ่งเป็นสบู่คำต่อวัสดุชีวมวลอื่นๆ อันได้แก่ ซังข้าวโพด กากมันสำปะหลัง ชานอ้อย และแกลูนที่สัดส่วน 45 : 40, 55 : 30, 65 : 20 และ 75 : 10 สัดส่วนการผสมระหว่างกากน้ำตาลต่อวัตถุดินที่ 15 : 85 โดยที่ค่าความร้อนของสบู่คำมีค่าสูงสุด ส่วนซังข้าวโพดจะมีค่าความร้อนสูงกว่ากากมันสำปะหลัง ชานอ้อย และแกลูน ตามลำดับ พบว่าลักษณะของผลการทดลองที่ได้จะคล้ายกับกรณีของตัวประสานเป็นเยียก คือ เมื่อทำการเพิ่มสัดส่วนของสบู่คำจะทำให้ค่าความร้อนของแท่งเชื้อเพลิงเพิ่มสูงขึ้น และจะสังเกตได้ว่าถ้านำวัสดุชีวมวลที่มีค่าความร้อนสูงมาผสมก็จะทำให้แท่งเชื้อเพลิงที่ได้มามีค่าความร้อนสูงตามไปด้วย นอกจากนี้เมื่อเปรียบเทียบผลการทดลองระหว่างรูปที่ 4.3 และ 4.10 จะเห็นว่าแท่งเชื้อเพลิงที่ผลิตโดยใช้กากน้ำตาลเป็นตัวประสานจะมีค่าความร้อนต่ำกว่าแท่งเชื้อเพลิงที่ผลิตโดยใช้แป้งเปียกเป็นตัวประสานเนื่องจาก กากน้ำตาลเป็นตัวประสานที่มีความหนืดสูงเพาใหญ่ได้มากกว่าแป้งเปียกจึงทำให้ค่าความร้อนลดลง โดยค่าความร้อนของแท่งเชื้อเพลิงที่ได้มีค่าอยู่ระหว่าง 11.89-14.25 MJ/kg



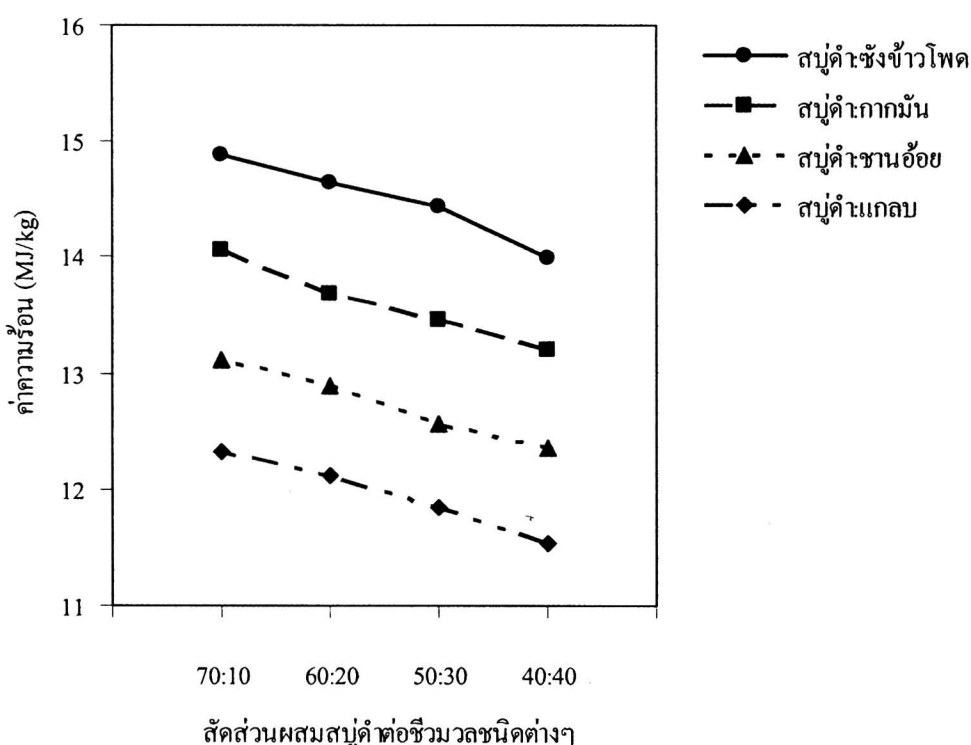
รูปที่ 4.11 ความสัมพันธ์ระหว่างค่าความหนาแน่นของแท่งเชือเพลิงกับสัดส่วนการผสมสบู่ดำต่อวัสดุชีมวลต่างๆ ซึ่งใช้กากน้ำตาลเป็นตัวประสานที่สัดส่วนร้อยละ 15



รูปที่ 4.12 ความสัมพันธ์ระหว่างค่าความด้านทานแรงกดของแท่งเชือเพลิงกับสัดส่วนการผสมสบู่ดำต่อวัสดุชีมวลต่างๆ ซึ่งใช้กากน้ำตาลเป็นตัวประสานที่สัดส่วนร้อยละ 15

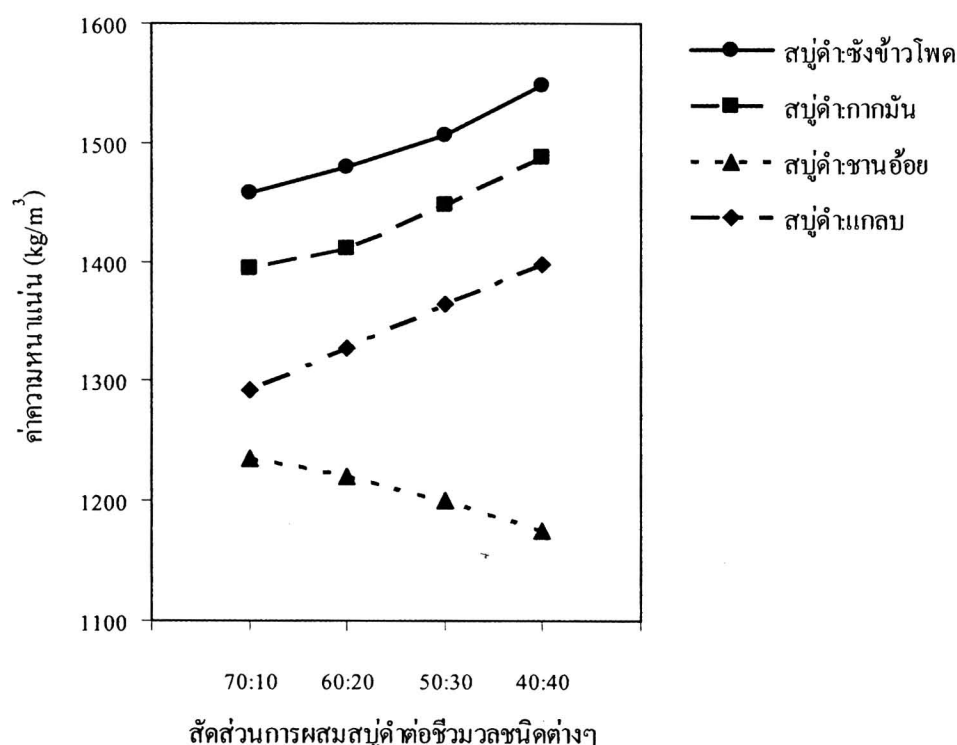
จากรูปที่ 4.11 และ 4.12 เป็นผลการทดลองในการทดสอบวัตถุคิบซึ่งเป็นสนับค้ำต่อวัสดุชีวมวลอื่นๆ อันได้แก่ ซังข้าวโพด กากมันสำปะหลัง ชานอ้อย และแกลบที่สัดส่วน 75 : 10, 65 : 20, 55 : 30 และที่สัดส่วน 45 : 40 สัดส่วนการผสมระหว่างกากน้ำตาลต่อวัตถุคิบเป็น 15 : 85 โดยที่ค่าความหนาแน่นของซังข้าวโพดจะมีค่าสูงที่สุดรองลงมาเป็นกากมันสำปะหลัง แกลบ ชานอ้อย และสนับค้ำ ตามลำดับ จะพบว่าสำหรับค่าความหนาแน่นของแท่งเชือเพลิงจะแปรผันตามสัดส่วนการผสมชีวมวลที่มีค่าความหนาแน่นสูง และการเปลี่ยนแปลงชนิดของชีวมวลที่ใช้ในการผลิตแท่งเชือเพลิงจะมีผลต่อความหนาแน่นของแท่งเชือเพลิงซึ่งสอดคล้องกับผลของค่าความต้านทานแรงกดที่มีค่าเพิ่มขึ้นตามสัดส่วนของชีวมวลที่มีความหนาแน่นสูง ที่เป็นเช่นนี้เป็นเพราะการผสมชีวมวลที่มีความหนาแน่นสูงจะทำให้แท่งเชือเพลิงมีเนื้อแน่น และมีรูพรุนน้อยจาก การระเหยไปของตัวประสานหลังจากการอบหรือตากให้แห้งอยู่น้อย เมื่อนำไปทดสอบด้วยเครื่อง UTM จึงสามารถที่จะแทนแรงกดได้สูง โดยที่ค่าความหนาแน่นของแท่งเชือเพลิงที่ผลิตได้นั้นมีค่าอยู่ระหว่าง  $1330-1565 \text{ kg/m}^3$  ค่าความต้านทานแรงกดของแท่งเชือเพลิงที่ผลิตได้มีค่าอยู่ระหว่าง  $1.496-2.115 \text{ MPa}$

#### 4.1.4.2 อิทธิพลของสัดส่วนวัตถุคิบเมื่อใช้กากน้ำตาลเป็นตัวประสานที่ร้อยละ 20

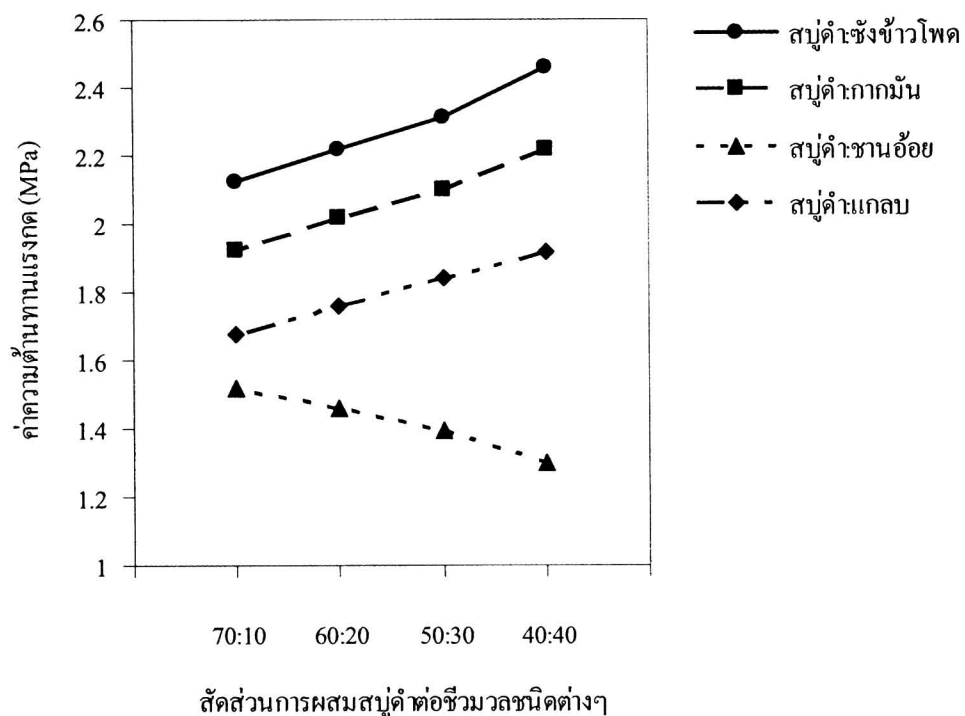


รูปที่ 4.13 ความสัมพันธ์ระหว่างค่าความร้อนของแท่งเชือเพลิงกับสัดส่วนการผสมสนับค้ำต่อวัสดุชีวมวลต่างๆ ซึ่งใช้กากน้ำตาลเป็นตัวประสานที่สัดส่วนร้อยละ 20

จากรูปที่ 4.13 เป็นผลการทดลองในการผสมวัตถุคิบซึ่งเป็นสนูร์คำต่อวัสดุชีมวลชนิดอื่นๆ อันได้แก่ ซังข้าวโพด กากมันสำปะหลัง ชานอ้อย และแกลบที่สัดส่วน 70 : 10, 60 : 20, 50 : 30 และ 40 : 40 โดยใช้สัดส่วนการผสมชีมวลต่อการน้ำตาลที่ 80 : 20 พบว่าผลการทดลองที่ได้จะเป็นไปในแนวทางเดียวกันกับกรณีสัดส่วนการผสมระหว่างชีมวลต่อการน้ำตาลที่ 85 : 15 คือเมื่อทำการลดสัดส่วนของสนูร์คำจะทำให้ค่าความร้อนของแท่งเชื้อเพลิงลดลงและการนำวัสดุชีมวลที่มีค่าความร้อนสูงมาผสมก็จะทำให้แท่งเชื้อเพลิงที่ได้มามีค่าความร้อนสูงตามไปด้วย โดยที่ค่าความร้อนของแท่งเชื้อเพลิงที่ผลิตได้มีค่าอยู่ระหว่าง 11.538-14.876 MJ/kg นอกจากนี้จะพบว่าแท่งเชื้อเพลิงที่ตัวประสานกาน้ำตาลในสัดส่วนร้อยละ 20 จะมีค่าความร้อนน้อยกว่าแท่งเชื้อเพลิงที่ใช้ตัวประสานกาน้ำตาลในสัดส่วนร้อยละ 15 เนื่องจากการผสมตัวประสานในสัดส่วนที่มากขึ้นทำให้ปริมาณวัสดุเชื้อเพลิงชีมวลในแท่งเชื้อเพลิงลดลงดังนั้นค่าความร้อนจึงมีค่าลดลง และเนื่องมาจากกาน้ำตาลเป็นตัวประสานที่มีความหนืดสูงเพาใหม่ได้ยากกว่าแป้งเปียกจึงทำให้ค่าความร้อนของแท่งเชื้อเพลิงที่ใช้กาน้ำตาลเป็นตัวประสานต่ำกว่าค่าความร้อนของแท่งเชื้อเพลิงที่ใช้แป้งเปียกเป็นตัวประสานเมื่อเทียบที่สัดส่วนผสมเดียวกัน



รูปที่ 4.14 ความสัมพันธ์ระหว่างค่าความหนาแน่นของแท่งเชื้อเพลิงกับสัดส่วนการผสมสนูร์คำต่อวัสดุชีมวลต่างๆ ซึ่งใช้กาน้ำตาลเป็นตัวประสานที่สัดส่วนร้อยละ 20



รูปที่ 4.15 ความสัมพันธ์ระหว่างค่าความต้านทานแรงกดของแท่งเชือเพลิงกับสัดส่วนการผสมสบู่คำต่อวัสดุชีวมวลต่างๆ ซึ่งใช้กาหน้ำตาลเป็นตัวประสานที่สัดส่วนร้อยละ 20

จากรูปที่ 4.14 และ 4.15 เป็นผลการทดลองในการผสมวัตถุดินซึ่งเป็นสบู่คำต่อวัสดุชีวมวลอื่นๆ อันได้แก่ ซังข้าวโพด กากมันสำปะหลัง ชานอ้อย และแกลบ ที่สัดส่วนการผสมระหว่างกาหน้ำตาลต่อวัตถุดินที่ 20 : 80 ซึ่งจะพบว่าผลการทดลองจะเป็นไปในแนวทางเดียวกับกรณีที่สัดส่วนการผสมกาหน้ำตาลต่อวัตถุดินที่ 15 : 85 คือค่าความหนาแน่นของแท่งเชือเพลิงจะแปรผันตามสัดส่วนการผสมชีวมวลที่มีค่าความหนาแน่นสูง ซึ่งสอดคล้องกับผลของค่าความต้านทานแรงกดที่มีค่าเพิ่มขึ้นตามสัดส่วนของชีวมวลที่มีความหนาแน่นสูง เช่นกัน โดยที่ค่าความหนาแน่นของแท่งเชือเพลิงที่ผลิตได้มีค่าอยู่ระหว่าง  $1176-1548 \text{ kg/m}^3$  ค่าความต้านทานแรงกดของแท่งเชือเพลิงที่ผลิตได้มีค่าอยู่ระหว่าง 1.3-2.46 MPa ซึ่งสูงกว่าในกรณีที่ใช้สัดส่วนการผสมกาหน้ำตาลต่อวัตถุดินที่ 15 : 85 เนื่องจากกาหน้ำตาลเป็นตัวประสานที่มีความหนืดสูงทำให้ยึดเกาะได้ดี ดังนั้นเมื่อผสมสัดส่วนของกาหน้ำตาลมากขึ้นจึงทำให้แท่งเชือเพลิงมีความยึดหยุ่นสูงขึ้นจึงทนแรงกดได้มากขึ้น ทำให้ค่าความต้านทานแรงกดเพิ่มสูงขึ้นด้วย และเมื่อเปรียบเทียบผลการทดลองระหว่างแท่งเชือเพลิงที่ใช้แป้งเปียกเป็นตัวประสานกับแท่งเชือเพลิงที่ใช้กาหน้ำตาลเป็นตัวประสาน พบร่วมค่าความต้านทานแรงกดของแท่งเชือเพลิงที่ใช้กาหน้ำตาลเป็นตัวประสานจะสูงกว่าแท่งเชือเพลิงที่ใช้แป้งเปียกเป็นตัวประสานเนื่องจากกาหน้ำตาลมีความหนืดสูงและมีองค์ประกอบของน้ำต่ำทำให้ยึดเกาะได้ดี อีกทั้งยังมีรูพรุนหลังการอบน้อยกว่าแป้งเปียกจึงสามารถทนแรงกดได้มากกว่า

## 4.2 ผลการทดลองสมรรถนะเครื่องอัดแท่งเชือเพลิงชีวมวลที่สร้างขึ้น

ผลการทดลองอัดแท่งเชือเพลิงชีวมวลข้างต้นทั้งหมดเป็นการทดลองโดยใช้เครื่องอัดแท่งเชือเพลิงที่มีขายตามห้องตลาดซึ่งใช้มอเตอร์ไฟฟ้า 3 เฟส ขนาด 10 แรงม้า เป็นตัวส่งกำลังดังแสดงในรูปที่ 4.16



รูปที่ 4.16 เครื่องอัดแท่งเชือเพลิงชีวมวลที่ใช้ทดลองในหัวข้อ 3.4-3.5 (ขนาด 10 แรงม้า)

สำหรับเครื่องอัดแท่งเชือเพลิงชีวมวลที่ทำการสร้างขึ้นใหม่จะใช้มอเตอร์ไฟฟ้า 3 เฟส ขนาด 5 แรงม้า เป็นตัวส่งกำลัง และใช้ความเร็วรอบ 50 rpm ตามที่ได้คำนวณไว้ในหัวข้อที่ 3.7 แสดงไว้ดังรูปที่ 4.17

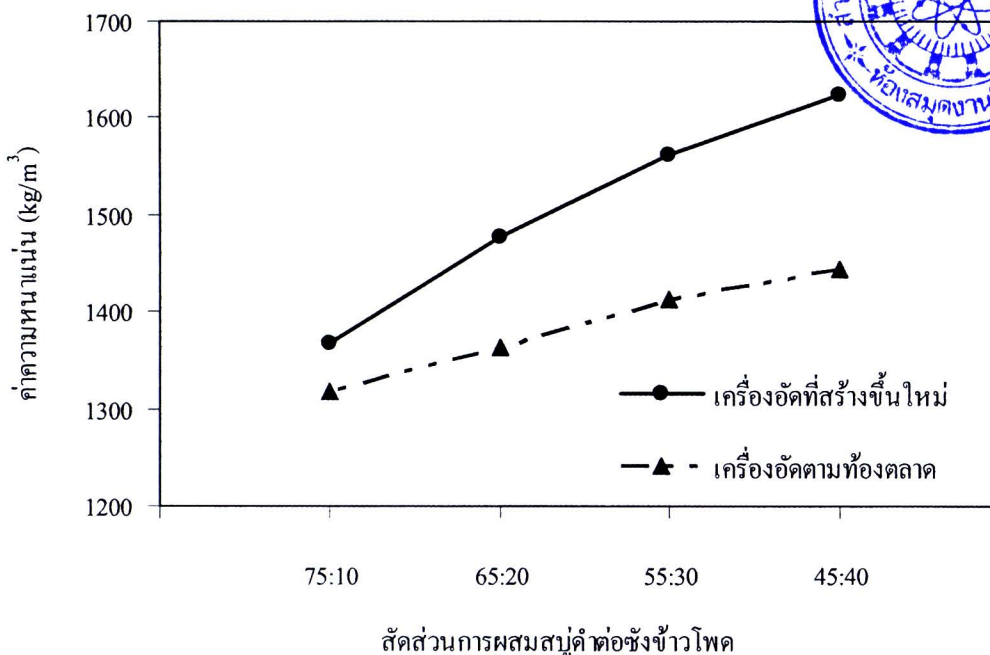


รูปที่ 4.17 เครื่องอัดแท่งเชือเพลิงชีวมวลที่ทำการสร้างขึ้นใหม่ (ขนาด 5 แรงม้า)

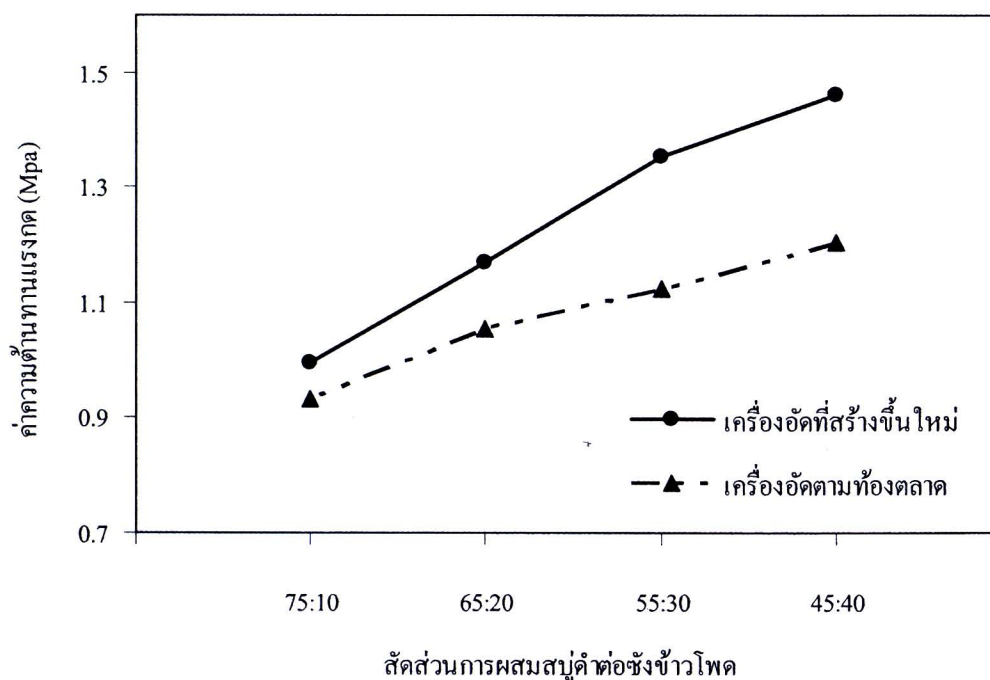
รายละเอียดของส่วนประกอบต่างๆ ของตัวเครื่องสามารถดูได้ที่ภาคผนวก ๑ และจากผลการทดลอง ในหัวข้อที่ 4.1 พบว่าในการผลิตแท่งเชือกเพลิงชีมวลที่ได้ค่าความร้อนสูงสุดได้มาจาก การผลิตแบบสูญญากาศ ต่อซังข้าวโพด โดยใช้เป็นตัวประสานในสัดส่วนร้อยละ 15 ดังนั้นจึงใช้สัดส่วนดังกล่าวนี้ใน การทดสอบเครื่องอัดแท่งเชือกเพลิงชีมวลที่สร้างขึ้น จากการทดลองอัดแท่งเชือกเพลิงด้วยเครื่องอัดที่ สร้างขึ้นใหม่พบว่าเมื่อใช้สัดส่วนการผลิตเดียวกันกับการทดลองในหัวข้อที่ 3.4 ไม่สามารถอัดขึ้นรูป แท่งเชือกเพลิงได้เนื่องจากมอเตอร์ส่งกำลังของเครื่องอัดที่สร้างขึ้นมีขนาดลดลงจากเดิมครึ่งหนึ่ง คือ จากเดิมใช้มอเตอร์ขนาด 10 แรงม้า ลดลงเหลือเพียง 5 แรงม้า ทำให้แรงอัดไม่พอที่จะอัดให้ชีมวล ประสานเป็นเนื้อเดียวกันได้ จึงทำการทดลองเพิ่มสัดส่วนของแป้งในการทำตัวประสานเป็นเชือกโดย เพิ่มจากสัดส่วนแป้งมัน 1 ส่วน ต่อน้ำ 4 ส่วน ไปเป็นแป้งมัน 1 ส่วน ต่อน้ำ 3 ส่วน เพื่อให้แป้งเปียกมี ความเหนียวและทำหน้าที่เป็นตัวยึดเกาะที่ดี ปรากฏว่าสามารถอัดขึ้นรูปแท่งเชือกเพลิงได้โดยยังคงใช้ แป้งเปียกเป็นตัวประสานในสัดส่วนร้อยละ 15 และผลการทดลองสมบัติทางกายภาพ สามารถสรุปผล และนำໄไปเขียนกราฟเพื่อแสดงความสัมพันธ์ต่างๆ ได้ดังรูปที่ 4.19- 4.20



รูปที่ 4.18 ลักษณะแท่งเชือกเพลิงที่ผลิตได้จากเครื่องอัดแท่งเชือกเพลิงชีมวลที่ทำการสร้างขึ้นใหม่

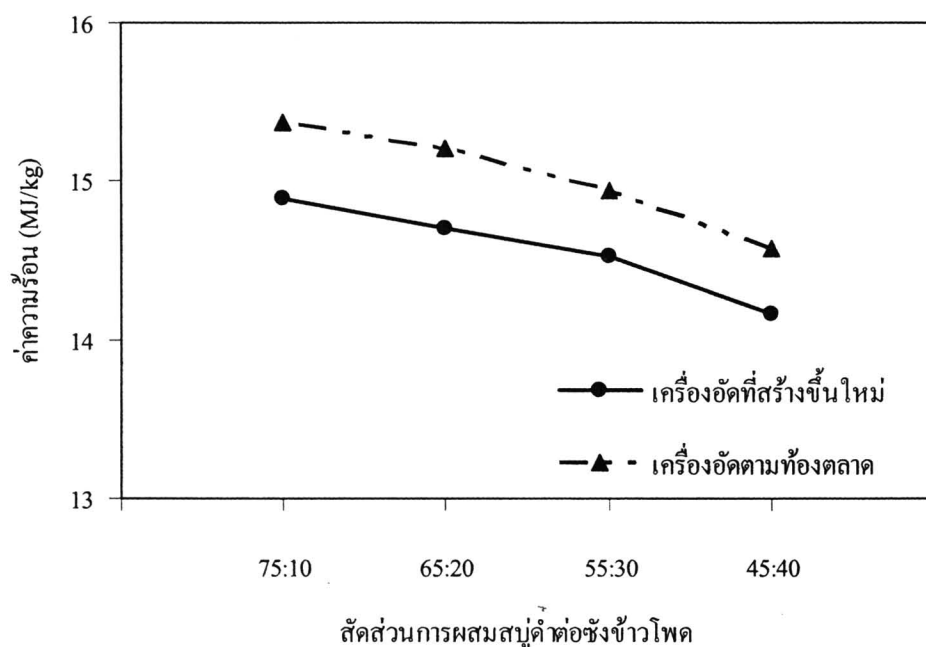


รูปที่ 4.19 เปรียบเทียบค่าความหนาแน่นของแท่งเชือเพลิงที่ผลิตได้จากเครื่องอัดแท่งเชือเพลิงที่สร้างขึ้นใหม่ (5 แรงม้า) กับเครื่องอัดที่มีข่ายตามห้องคลาดทั่วไป (10 แรงม้า)



รูปที่ 4.20 เปรียบเทียบค่าความถ้วนทางแรงดันของแท่งเชือเพลิงที่ผลิตได้จากเครื่องอัดแท่งเชือเพลิงที่สร้างขึ้นใหม่ (5 แรงม้า) กับเครื่องอัดที่มีข่ายตามห้องคลาดทั่วไป (10 แรงม้า)

จากรูปที่ 4.19 และ 4.20 จะเห็นได้ว่าค่าความหนาแน่นและค่าความต้านทานแรงกดของแท่งเชือเพลิงที่ผลิตโดยเครื่องอัดแท่งเชือเพลิงที่สร้างขึ้นใหม่จะประพันตามสัดส่วนการผสมชีวนะลดที่มีค่าความหนาแน่นสูง เช่นเดียวกับผลการทดลองที่ได้ในหัวข้อที่ 4.1.2 แท่งเชือเพลิงที่ผลิตโดยเครื่องอัดตามท้องตลาดจะมีค่าความหนาแน่นและค่าความต้านทานแรงกดสูงกว่าแท่งเชือเพลิงที่ผลิตโดยเครื่องอัดที่มีค่าความหนาแน่นน้อยกว่า 1398-1624 kg/m<sup>3</sup> สำหรับค่าความต้านทานแรงกดที่ได้มีค่าอยู่ระหว่าง 0.997-1.462 MPa นอกจากนี้เมื่อเปรียบเทียบระหว่างแท่งเชือเพลิงที่ผลิตโดยเครื่องอัดแท่งเชือเพลิงสองชนิด พบว่าค่าความหนาแน่นและค่าความต้านทานแรงกดของแท่งเชือเพลิงที่ผลิตโดยเครื่องอัดแท่งเชือเพลิงที่สร้างขึ้นใหม่จะมีค่าสูงกว่า เนื่องจากในการอัดแท่งเชือเพลิงด้วยเครื่องใหม่นี้ต้องทำการผสมปริมาณแป้งลงในตัวประสานเพิ่มขึ้นทำให้ตัวประสานมีความหนืด และความหนาแน่นสูงขึ้นอีกทั้งแท่งเชือเพลิงที่ผลิตได้จะมีเนื้อแน่นและมีรูพรุนน้อยจากการระเหยไปของตัวประสานแป้งเป็นปกหลังจากการอบหรือตากให้แห้งน้อยลง เมื่อนำไปทดสอบด้วยเครื่อง UTM จึงสามารถทดสอบแรงกดได้สูงขึ้น



รูปที่ 4.21 เปรียบเทียบค่าความร้อนของแท่งเชือเพลิงที่ผลิตได้จากเครื่องอัดแท่งเชือเพลิงที่สร้างขึ้นใหม่ (5 แรงม้า) กับเครื่องอัดที่มีขายตามท้องตลาดทั่วไป (10 แรงม้า)

จากรูปที่ 4.21 จะเห็นได้ว่าค่าความร้อนของแท่งเชือเพลิงจะลดลงตามสัดส่วนที่ลดลงของชีวนะลด คำ เช่นเดียวกับผลการทดลองที่ได้ในหัวข้อที่ 4.1.2 และจะเห็นได้ว่าแท่งเชือเพลิงที่ผลิตโดยเครื่องอัดแท่งเชือเพลิงที่สร้างขึ้นใหม่มีค่าต่ำกว่าแท่งเชือเพลิงที่ผลิตโดยเครื่องอัดแท่งเชือเพลิงตามท้องตลาด เเลกน้อยเนื่องจากในการอัดแท่งเชือเพลิงโดยใช้เครื่องอัดแท่งเชือเพลิงที่สร้างขึ้นใหม่นั้นต้องทำการ

ผสมเนื้อเป็นลงไปในตัวประสานมากขึ้นซึ่งทำให้ตัวประสานเป็นเปียกเผาไหม้ได้ยากขึ้น ดังนั้นจึงทำให้แห่งเชื้อเพลิงที่ผลิตได้มีค่าความร้อนลดลง โดยค่าความร้อนของแห่งเชื้อเพลิงที่ผลิตได้มีค่าอยู่ระหว่าง 14.165-14.896 MJ/kg จากผลของค่าความร้อน ความหนาแน่น และค่าความต้านทานแรงกดของแห่งเชื้อเพลิงแสดงให้เห็นว่าประสิทธิภาพในการทำงานของเครื่องอัดแห่งเชื้อเพลิงที่ออกแบบสร้างขึ้นใหม่นี้มีความใกล้เคียงกับเครื่องอัดแห่งเชื้อเพลิงที่มีข่ายตามห้องตลาดทั่วไปซึ่งใช้ในการทดลองหัวข้อที่ 3.7 แต่ใช้พลังงานในการอัดแห่งเชื้อเพลิงน้อยกว่า เนื่องจากตัวส่งกำลังที่ใช้เป็นมอเตอร์ไฟฟ้าขนาด 5 แรงม้าเท่านั้น ในขณะที่เครื่องอัดแห่งเชื้อเพลิงที่มีข่ายตามห้องตลาดทั่วไปซึ่งใช้ในการทดลองหัวข้อที่ 3.7 ใช้มอเตอร์ขนาด 10 แรงม้า เป็นตัวส่งกำลัง

จากการออกแบบสกรูอัดแห่งเชื้อเพลิงตามเงื่อนไขที่กำหนดในหัวข้อที่ 3.7 ซึ่งเมื่อทำการทดลองอัดแห่งเชื้อเพลิง จะได้อัตราการผลิตแห่งเชื้อเพลิงเท่ากับ 0.75 kg/min ซึ่งจากการออกแบบที่คำนวณไว้ นั้นได้ดึงเป้าหมายอัตราการผลิตไว้ที่ 0.85 kg/min ดังนั้นสกรูอัดแห่งเชื้อเพลิงที่ออกแบบไว้นั้นสามารถหาสมรรถนะของสกรูอัดแห่งเชื้อเพลิงได้จากสมการที่ (3.22)

$$\begin{aligned} \text{สมรรถนะของสกรูอัด} &= \frac{0.75}{0.85} \times 100 \% \\ &= 88.23 \end{aligned}$$

สกรูอัดแห่งเชื้อเพลิงที่ออกแบบไว้มีสมรรถนะ 88.23 เปอร์เซ็นต์

นอกจากนี้เมื่อทำการเปรียบเทียบพลังงานไฟฟ้าของเครื่องอัดแห่งเชื้อเพลิงที่ได้ทำการสร้างขึ้นใหม่ (ขนาด 5 แรงม้า) กับเครื่องอัดแห่งเชื้อเพลิงที่ทดลองในหัวข้อที่ 3.4-3.5 (ขนาด 10 แรงม้า) โดยเทียบจากค่าดัชนีการใช้พลังงาน (Specific Energy Consumption) ของเครื่องอัดแห่งเชื้อเพลิงทั้งสอง พบว่า เครื่องอัดแห่งเชื้อเพลิงที่สร้างขึ้นใหม่จะมีดัชนีการใช้พลังงานน้อยกว่าเครื่องอัดแห่งเชื้อเพลิงที่ใช้ในการทดลองในหัวข้อที่ 3.4-3.5 ดังแสดงในตารางที่ 4.1 สำหรับค่าดัชนีการใช้พลังงานนั้นคำนวณได้ดังนี้

$$\text{ค่าดัชนีการใช้พลังงาน} = \frac{\text{พลังงานไฟฟ้าที่ใช้}}{\text{อัตราการผลิต}}$$

**ตารางที่ 4.1 เปรียบเทียบพลังงานไฟฟ้าของเครื่องอัดแท่งเชื้อเพลิงที่สร้างขึ้นกับเครื่องอัดแท่งเชื้อเพลิงที่ใช้ในการทดลองในหัวข้อที่ 3.4-3.5**

ตัวแปรในการเปรียบเทียบ	เครื่องอัดแท่งเชื้อเพลิงที่สร้างขึ้น	เครื่องอัดแท่งเชื้อเพลิงที่ใช้ในการทดลองในหัวข้อที่ 3.4-3.5
ขนาดแรงม้า	5 hp	10 hp
พลังงานงานไฟฟ้า	4 kWh	7.5 kWh
อัตราการผลิตต่อชั่วโมง	45 kg	60 kg
ดัชนีการใช้พลังงาน	0.089 kWh / kg	0.125 kWh / kg

จากตารางที่ 4.1 ถ้าต้องการผลิตแท่งเชื้อเพลิง 18000 kg เครื่องอัดแท่งเชื้อเพลิงที่สร้างขึ้น (5 แรงม้า) จะใช้เวลาผลิต 400 hr ใช้พลังงานในการผลิตเป็น  $4 \text{ kW} \times 400 \text{ hr} = 1600 \text{ kWh}$  ในขณะที่เครื่องอัดแท่งเชื้อเพลิงที่ใช้ในการทดลองในหัวข้อที่ 3.4-3.5 (10 แรงม้า) จะใช้เวลาผลิต 300 hr ใช้พลังงานในการผลิตเป็น  $7.5 \text{ kW} \times 300 \text{ hr} = 2250 \text{ kWh}$  จะเห็นได้ว่าเครื่องอัดแท่งเชื้อเพลิงที่สร้างขึ้นใช้พลังงานในการผลิตน้อยกว่า แต่ใช้เวลาในการผลิตมากกว่า

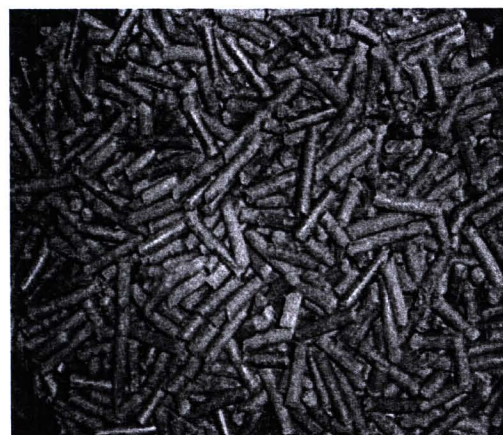
#### **4.3 ผลการศึกษาปัจจัยของแท่งเชื้อเพลิงที่เหมาะสมกับการใช้ในเตาผลิตแก๊ส-เชื้อเพลิง**

จากการศึกษาข้อมูลการทดลองในการพัฒนาต้นแบบโรงไฟฟ้าชีวมวลขนาด 100 kW ด้วยเทคโนโลยี Biomass Gasification โดยวิธีซับ อาจหาญ และคณะ [15] ร่วมกับ บริษัท ชาตาเก๊ (ประเทศไทย) จำกัด โดยวัดถูกต้องที่ใช้เป็นเชื้อเพลิงคือวัสดุเหลือใช้ทางการเกษตรซึ่งมีรูปปัจจุบันที่แตกต่างกัน ดังนี้

- ลักษณะเป็นแท่งเชื้อเพลิงรูปทรงกรวยของมีรูกลวงตรงกลาง
- ลักษณะเป็นแท่งเชื้อเพลิงรูปทรงกรวยขนาดเล็กมีรูกลวงตรงกลาง
- ลักษณะเป็นแท่งเชื้อเพลิงรูปทรงกรวยของตัน
- เชื้อเพลิงที่ถูกอัดเป็นแท่งกลีบ
- แท่งเชื้อเพลิงที่ถูกอัดเป็นก้อนทรงสี่เหลี่ยมตัน
- ลักษณะเป็นชิ้นไม้ที่สับเป็นเหลี่ยม



รูปที่ 4.22 ลักษณะแห่งเชื้อเพลิงรูปทรงกระบอกมีรูกลวงตรงกลาง



รูปที่ 4.23 ลักษณะแห่งเชื้อเพลิงรูปทรงกระบอกขนาดเล็กมีรูกลวงตรงกลาง



รูปที่ 4.24 ลักษณะแห่งเชื้อเพลิงรูปทรงกระบอกตัน



รูปที่ 4.25 เชือเพลิงที่ถูกอัดเป็นแท่งเกลียว



รูปที่ 4.26 แท่งเชือเพลิงที่ถูกอัดเป็นก้อนทรงสี่เหลี่ยมตัน



รูปที่ 4.27 เชือเพลิงมีลักษณะเป็นชิ้นไม่สับเป็นเหลี่ยม

ผลการวิเคราะห์ห้องค์ประกอบของแก๊สชีวมวลโดยใช้เครื่อง Gas Chromatograph และการประเมินประสิทธิภาพการผลิตแก๊สชีวมวลแสดงไว้ในตารางที่ 4.2 และ 4.3 ตามลำดับ

ตารางที่ 4.2 องค์ประกอบของแก๊สที่ผลิตจากเชื้อเพลิงชีวมวลรูปร่างลักษณะต่างๆ

ลักษณะของ แท่งเชื้อเพลิง	Gas Flow (m <sup>3</sup> /h)	Gas composition (%)					
		CO	H <sub>2</sub>	CH <sub>4</sub>	N <sub>2</sub>	O <sub>2</sub>	CO <sub>2</sub>
ทรงกระบอกกลาง	152.27	24.06	14.07	2.42	45.91	2.26	11.27
ทรงกระบอกกลางเล็ก	151.96	1854	17.35	1.56	50.04	1.90	10.61
ทรงกระบอกตัน	150.70	18.09	17.79	1.77	4877	1.56	12.02
ก้อนทรงสี่เหลี่ยมตัน	147.11	15.36	15.29	1.62	51.66	2.45	13.62
แท่งเกลียว	105.18	15.74	16.38	1.96	52.58	1.43	11.91
ชิ้นไม้สับเป็นเหลี่ยม	123.75	16.81	17.27	2.41	49.53	0.75	13.23

ตารางที่ 4.3 ประสิทธิภาพการผลิตแก๊สชีวมวลที่ผลิตจากเชื้อเพลิงชีวมวลรูปร่างลักษณะต่างๆ

ลักษณะของ แท่งเชื้อเพลิง	Gas Flow (m <sup>3</sup> /h)	Biomass Consumption (kg/h)	HHV (MJ/m <sup>3</sup> )	Tar (mg/m <sup>3</sup> )	Dust (mg/m <sup>3</sup> )	Gasification Efficiency (%)
ทรงกระบอก กลาง	152.27	68.56	6.01	4.00	16.40	85.96
ทรงกระบอก กลางขนาดเล็ก	151.96	41.00	5.36	0.40	2.70	81.29
ทรงกระบอกตัน	150.70	69.62	5.45	2.10	5.10	75.92
ก้อนทรง สี่เหลี่ยมตัน	147.11	59.72	4.70	0.40	0.40	74.70
แท่งเกลียว	105.18	54.22	5.03	0.70	2.00	62.94
ชิ้นไม้ สับเป็นเหลี่ยม	123.75	74.42	5.47	21.80	18.40	58.32

จากผลการทดลองที่แสดงในตารางที่ 4.3 เมื่อทำการเปรียบเทียบค่า Gasification Efficiency สูงสุดของแท่งเชื้อเพลิงแต่ละลักษณะ พบว่าแท่งเชื้อเพลิงรูปทรงกระบอกมีรูกลวงตรงกลางมีค่า Gasification Efficiency เป็น 85.96 % แท่งเชื้อเพลิงรูปทรงกระบอกขนาดเล็กมีรูกลวงตรงกลางมีค่า Gasification Efficiency เป็น 85.29 % แท่งเชื้อเพลิงรูปทรงกระบอกตันมีค่า Gasification Efficiency เป็น 75.92 % เชื้อเพลิงลักษณะเป็นแท่งเกลียวค่า Gasification Efficiency เป็น 62.94 % แท่งเชื้อเพลิงลักษณะเป็นก้อนทรงสี่เหลี่ยมตันมีค่า Gasification Efficiency เป็น 74.70 % และเชื้อเพลิงที่มีลักษณะเป็นชิ้น ไม่ที่สับเป็นเหลี่ยมนี้ค่า Gasification Efficiency เป็น 58.32 % จะสังเกตได้ว่าแท่งเชื้อเพลิงที่มีลักษณะเป็นแท่งทรงกระบอกมีรูกลวงตรงกลางจะมีค่า Gasification Efficiency สูง เนื่องจากแท่งเชื้อเพลิงทั้งสองลักษณะดังกล่าวมีความหนาแน่นสูง แต่มีช่องว่างให้อากาศไหลผ่าน ได้ดีทำให้เกิดการเผาไหม้ได้ในขณะที่แท่งเชื้อเพลิงรูปทรงกระบอกตัน และแท่งเชื้อเพลิงทรงสี่เหลี่ยมตันมีค่า Gasification Efficiency รองลงมา เนื่องจากถึงแม้แท่งเชื้อเพลิงจะมีความหนาแน่นสูงแต่มีช่องว่างให้อากาศไหลผ่าน ได้น้อยทำให้เกิดการเผาไหม้ไม่ดีนัก กรณีแท่งเชื้อเพลิงที่มีลักษณะเป็นเกลียวนั้นถึงแม้จะมีช่องว่างให้อากาศไหลผ่าน ได้ดีแต่เนื่องจากการมีช่องว่างระหว่างเกลียวจะทำให้แท่งเชื้อเพลิงมีความหนาแน่นน้อยปริมาณเชื้อเพลิงที่ใช้ในการเผาไหม้จึงสูง และสำหรับเชื้อเพลิงที่มีลักษณะเป็นชิ้น ไม่ที่สับเป็นเหลี่ยมนี้ค่า Gasification Efficiency ต่ำที่สุด เนื่องมาจากเชื้อเพลิงลักษณะนี้เป็นเชื้อเพลิงที่ไม่ได้ผ่านกระบวนการอัดขึ้นรูปจึงมีความหนาแน่นต่ำกว่าเชื้อเพลิงลักษณะอื่นๆ นอกจากนี้การสับเป็นหònสี่เหลี่ยมเล็กๆ จะทำให้มีช่องว่างระหว่างเชื้อเพลิงน้อยอากาศไหลผ่าน ได้ไม่ดี การเผาไหม้จึงไม่สมบูรณ์ดังจะเห็นได้จากปริมาณ Tar และฝุ่นที่ได้ในตารางที่ 4.3 ซึ่งมีค่าสูงกว่าเชื้อเพลิงลักษณะอื่นๆ สำหรับผลการทดลองวัดสมบัติแก๊สชีวมวลที่ผลิตจากเชื้อเพลิงชีวมวลที่ผลิตได้จากเครื่องอัดแท่งเชื้อเพลิงชีวมวลที่สร้างขึ้นใหม่ได้แสดงไว้ในตารางที่ 4.4

**ตารางที่ 4.4 องค์ประกอบของแก๊สชีวมวลที่ผลิตจากเชื้อเพลิงชีวมวลที่ผลิตได้จากเครื่องอัดแท่งเชื้อเพลิงที่สร้างขึ้นใหม่**

Gas Flow (m <sup>3</sup> /h)	Gas composition (%)					
	CO	H <sub>2</sub>	CH <sub>4</sub>	N <sub>2</sub>	O <sub>2</sub>	CO <sub>2</sub>
75.46	24.70	12.63	2.36	46.12	2.64	11.38

**ตารางที่ 4.5 เปรียบเทียบองค์ประกอบของแก๊สชีวมวลที่ผลิตจากเชื้อเพลิงชีวมวลลักษณะรูปร่าง  
ทรงกระบอกกลวงที่ผลิตได้จากเครื่องอัดแท่งเชื้อเพลิงที่สร้างขึ้นใหม่และผลการ  
ทดลองของมหาวิทยาลัยเทคโนโลยีสุรนารี**

แหล่งที่มาของเชื้อเพลิง	Gas composition (%)					
	CO	H <sub>2</sub>	CH <sub>4</sub>	N <sub>2</sub>	O <sub>2</sub>	CO <sub>2</sub>
มหาวิทยาลัยเทคโนโลยีสุรนารี	24.06	14.07	2.42	45.91	2.26	11.27
เครื่องอัดแท่งเชื้อเพลิงที่สร้างขึ้นใหม่	24.70	12.63	2.36	46.12	2.64	11.38

จากตารางที่ 4.5 เมื่อเปรียบเทียบแท่งเชื้อเพลิงที่มีลักษณะเป็นทรงกระบอกมีรูกลวงตรงกลางระหว่างแท่งเชื้อเพลิงของมหาวิทยาลัยเทคโนโลยีสุรนารี และแท่งเชื้อเพลิงที่ผลิตได้จากเครื่องอัดแท่งเชื้อเพลิงที่สร้างขึ้นใหม่ (มาตรฐานดี 5 แรงม้า) จะเห็นว่าองค์ประกอบแก๊สที่ผลิตได้มีค่าใกล้เคียงกับผลการทดลองของมหาวิทยาลัยเทคโนโลยีสุรนารี